электронный журнал

МОЛОДЕЖНЫЙ НАУЧНО-ТЕХНИЧЕСКИЙ ВЕСТНИК

Издатель ФГБОУ ВПО "МГТУ им. Н.Э. Баумана". Эл No. ФС77-51038.

УДК 519.6:532:539.5:621.9.04,011

ЧИСЛЕННОЕ МОДЕЛИРОВАНИЕ ДВИЖЕНИЯ АБРАЗИВНЫХ ЧАСТИЦ В ФОКУСИРУЮЩЕМ НАСАДКЕ

Герасимова А.М., студент Россия, 105005, г. Москва, МГТУ им. Н.Э. Баумана, кафедра «Технологии ракетно-космического машиностроения»

Научный руководитель: Колпаков В.И.., к.т.н., доцент Россия, 105005, г. Москва, МГТУ им. Н.Э. Баумана cm12@sm.bmstu.ru

В настоящее время технологии гидроабразивной обработки широко применяются в машиностроении, в частности, в ракетно-космической отрасли, так как продемонстрировали свою высокую конкурентоспособность по сравнению с традиционными методами обработки.

Гидроабразивная обработка обладает рядом достоинств:

- конструктивная простота оборудования;
- возможность резания материалов с широким диапазоном физикомеханических свойств (металлов, сталей и сплавов, керамики, резины, композитов);
- возможность осуществления сложно-контурной резки с применением станков с системами ЧПУ;
 - гибкость, универсальность применения;
 - высокая производительность и широкий диапазон скоростей подачи;
- высокое качество получаемой после обработки поверхности (отсутствие микротрещин и зон термического или химического воздействия на материал в поверхностном слое детали);
 - малые потери обрабатываемого материала;
 - экологическая безопасность:
 - совместимость с промышленными роботами и манипуляторами.

Гидроабразивная обработка, как метод формообразования, не лишена недостатков:

- сравнительно малый срок службы фокусирующих насадков (сопел);
- сложность обслуживания и малый межремонтный ресурс систем создания высокого давления (ремонт и текущее обслуживание производится через каждые 300 ... 500 часов работы);
 - сложность управления резкой вследствие «заноса» абразивной струи.

http://sntbul.bmstu.ru/doc/637101.html

В данной работе анализируется характер набора скорости вдоль канала фокусирующего насадка абразивными частицами. Параметрическая расчетная схема, приведенная на рисунке. 1., составлена на основе данных работы Казаковой О.И. [2]. В качестве рабочей была выбрана двухмерная осесимметричная X, Y— модель.

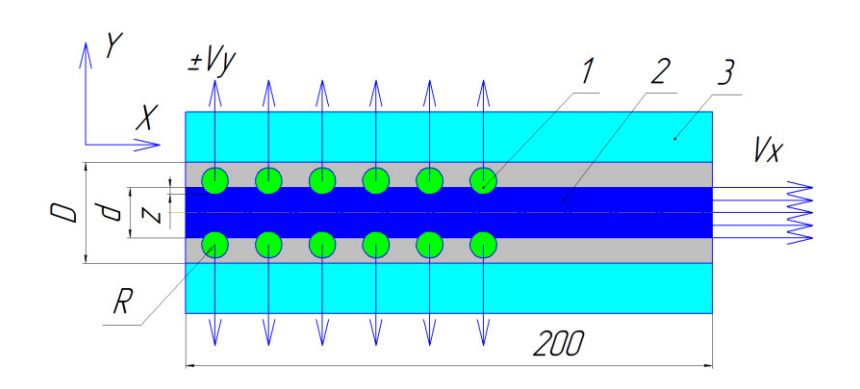


Рис. 1. Параметрическая расчетная схема, где 1 – абразивная частица; 2 – струя жидкости; 3 – фокусирующий насадок; X – направление вдоль канала фокусирующего насадка (далее, осевое направление); Y – направление, перпендикулярное стенке канала фокусирующего насадка (далее, радиальное направление); D – диаметр канала фокусирующего насадка; d – диаметр струи жидкости; z – величина захвата абразивных частиц струей жидкости; R – радиус абразивных частиц; V_x , V_y – скорости абразивных частиц в используемой системе

Числовые значения геометрических параметров фокусирующего насадка принимались следующими — D=1,6 мм; d=1 мм. В процессе исследования определялись следующие зависимости:

- изменение продольной скорости от величины захвата частиц струей жидкости (z), т.е: $V_x = f(z)$;
- изменение продольной скорости от величины и направления радиальной скорости (V_v) , т.е. $V_x = f(Vy)$;
- изменение продольной скорости от радиуса абразивной частицы в качестве материала которой использовался кварцевый песок ($\rho = 3 \text{ г/см}^3$), т.е. $V_x = f(R)$.

В процессе исследования было замечено, что вне зависимости от используемых начальных условий в некоторый момент времени происходит скопление частиц в канале фокусирующего насадка и в дальнейшем они движутся вместе. Это продемонстрированно на рисунке 2.

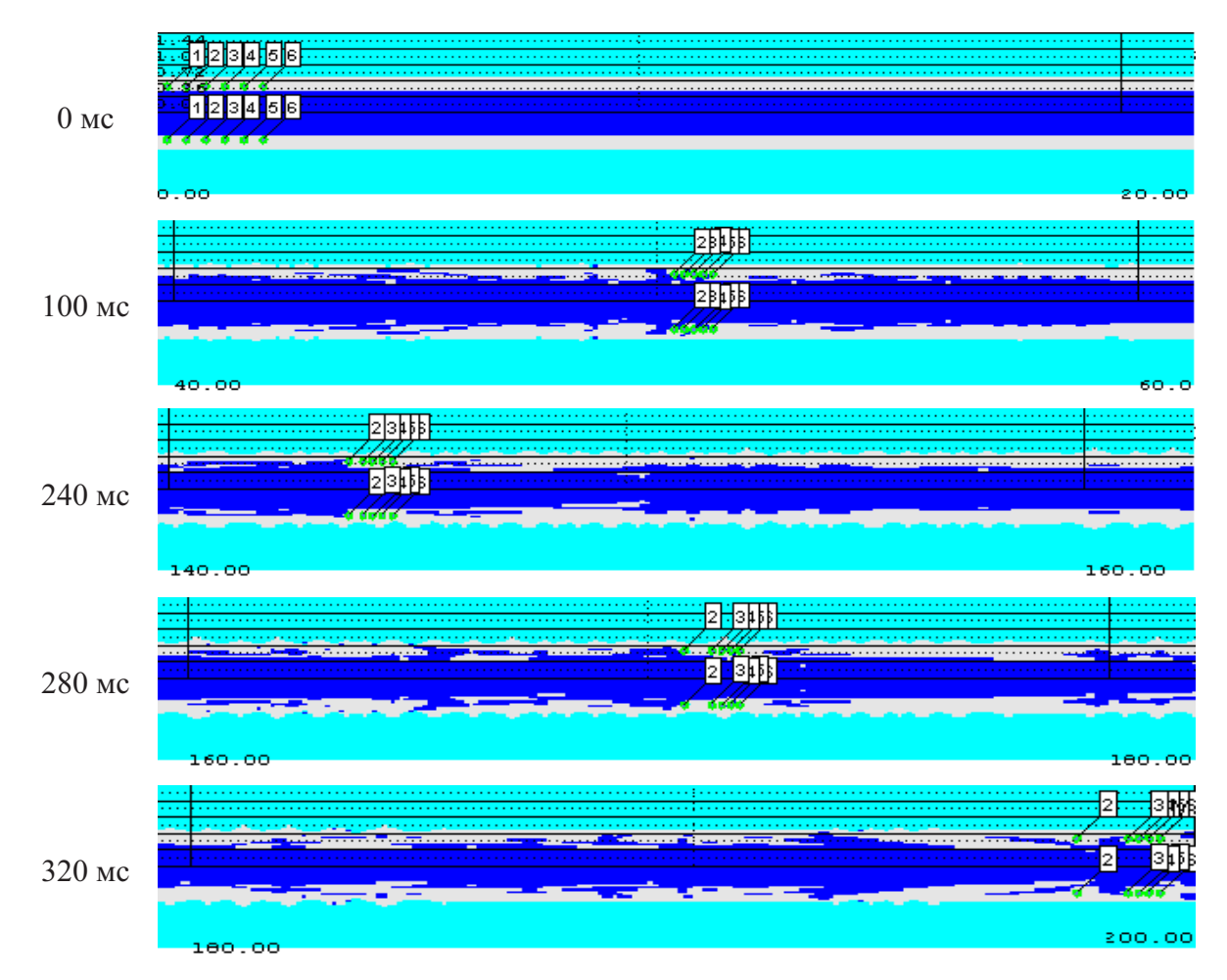


Рис. 2. Характер движения частиц в канале фокусирующего насадка

Отмеченное скопление частиц обусловлено использованием двумерной модели, в которой абразивные частицы по форме являются не сферическими, а торовыми телами. Поэтому в дальнейшем важно устранить этот недостаток и использовать трехмерную модель взаимодействия частиц с поверхностью канала насадка. Несмотря на указанные недостатки, полученные результаты дают представление о характере набора скорости частиц в осевом направлении.

За базовый вариант взята модель с параметрами: z=0 мм, R=1 мм, $V_y=100$ м/с, $V_x=800$ м/с. Выбор на столько большого значения радиальной скорости ($V_y=100$ м/с) обусловлен недостатками модели, связанные с тем, что частицы представляют собой торовые тела.

Скачки скорости можно объяснить характером набегания потока жидкости на частицы.

Характер изменения осевой скорости в зависимости от времени представлен на рисунке 3. Основной набор скорости происходить на участке 0...50мм. Это позволяет сократить длину фокусирующего насадка.

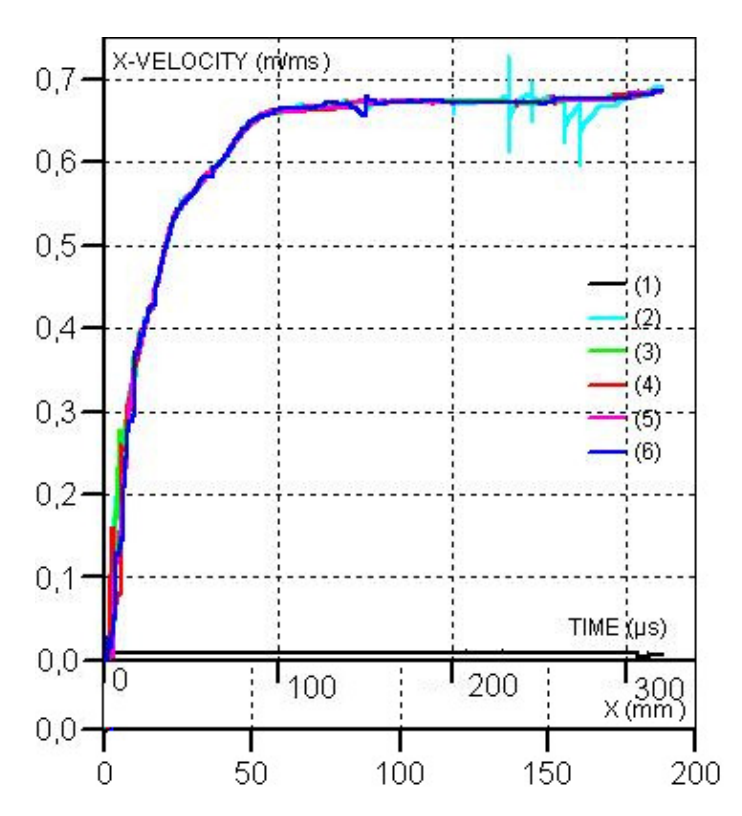


Рис. 3. Характер изменения осевой скорости в зависимости от времени и расстояния по оси ${\bf X}$

Результаты варьирования величиной захвата абразивных частиц струей жидкости представлены на рисунке 4. Полученные результаты показывают, что конечная скорость частиц изменяется от 86 % V_x (при z=0) до 98 % V_x (при $z=2\cdot R$).

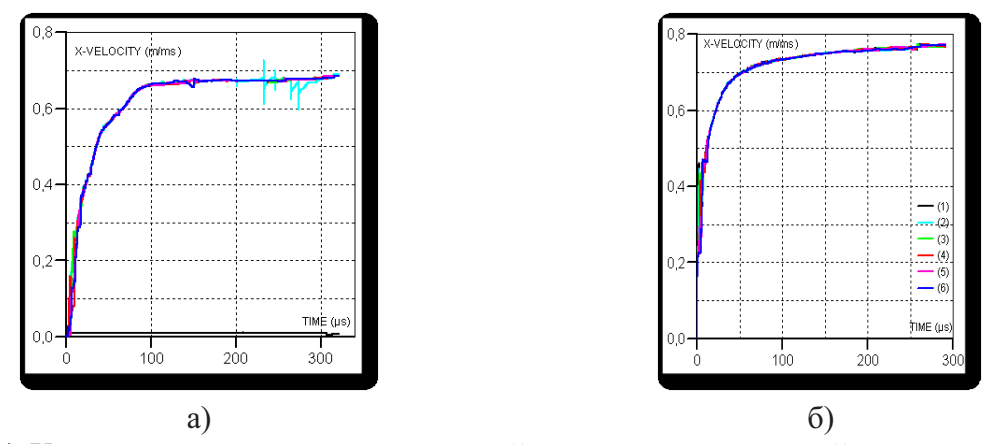


Рис. 4. Характер полученных зависимостей изменения продольной скорости частиц от величины их захвата струей жидкости (z): а) z=0; б) $z=2\cdot R$ ($V_y=100$ м/с; $V_x=800$ м/с; R=1 мм)

На рисунке 5 представлена зависимость изменения продольной скорости от величины и направления радиальной скорости. Полученные результаты показывают, что

варьирование начальным значением радиальной скорости не влияет на конечную осевую скорость абразивных частиц. Это можно связать с недостатками выбранной модели.

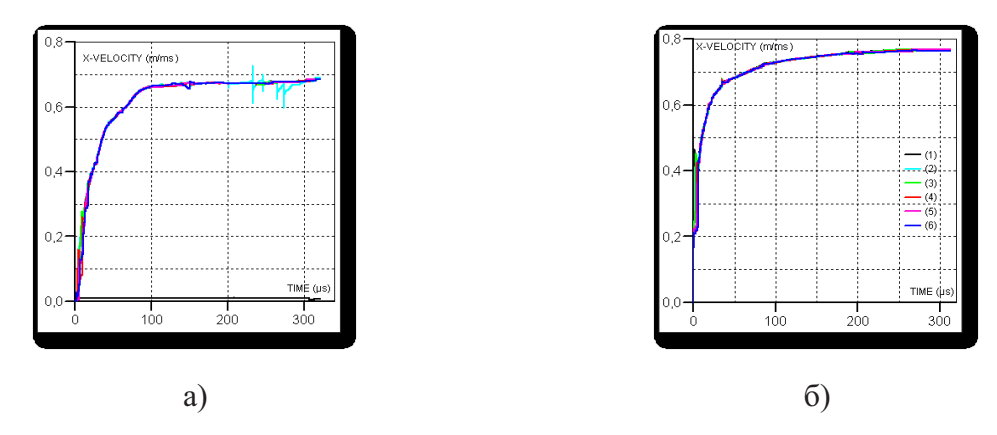


Рис. 5. Характер полученных зависимостей изменения продольной скорости от величины и направления радиальной скорости частиц (V_y) :

a)
$$V_v = 100 \text{ m/c}$$
; 6) $V_v = 300 \text{ m/c}$ ($V_x = 800 \text{ m/c}$; $R = 1 \text{ mm}$; $z = 0$)

На рисунке 6 представлена зависимость изменения продольной скорости от радиуса абразивной частицы. Полученные результаты показывают, что изменение радиуса абразивной частицы влияет на осевую скорость. Так при R=1 мм осевая скорость составляет 93 % V_x , а при R=1,5 мм -88 % V_x . Величина захвата частиц струей жидкости в обоих вариантах была z=R.

При R = 1,5 мм происходит скачок скорости. Этот факт можно объяснить характером обтекания, который с ростом радиуса абразивных частиц может усугубляться.

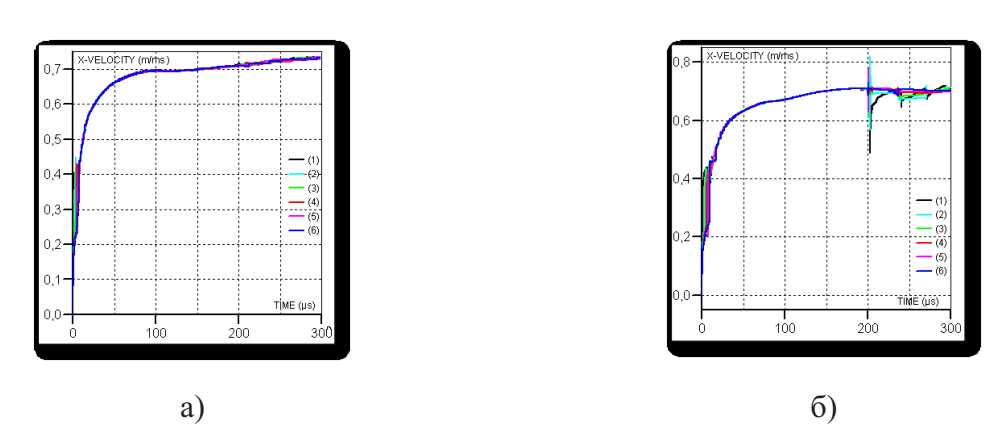


Рис. 6. Влияние на осевую скорость размера частиц: a) R = 1 мм; б) R = 1,5 мм

В заключении нужно сказать, что полученные результаты требуют подтверждения на трехмерной модели.

Список литературы

- 1. Численные методы в задачах физики взрыва и удара: Учебник для втузов. / А.В. Бабкин, В.И. Колпаков, В.Н. Охитин, В.В. Селиванов. Т 3. М.: Изд-во МГТУ им. Н.Э. Баумана, 2000. 516 с.
- Казакова О.И., Колпаков В.И. Численное моделирование гидроабразивной резки листовых заготовок из алюминиевых сплавов. // Известия высших учебных заведений. Серия «Машиностроение» - 2012 – №7. Стр. 56-60.
- 3. Гидроабразивная резка: технология и применение. http://www.mirprom.ru/public/gidroabrazivnaya-rezka-tehnologiya-i-primenenie.html (дата обращения:10.05.2013).